

6. Was wir auch hätten lernen sollen

6.1 Allgemeine Klassifizierung der Lie-Algebren

Wir haben ewige bedeutende Lie-Gruppen bzw. Lie-Algebren genauer studiert, insbesondere $SU(n)$ und $SO(n)$. Es ist aber möglich, alle Strukturen, die von unserer "Hauptformel"

[S. 21: $2\alpha \cdot w / |w|^2 = q - p$] erlaubt sind, zu klassifizieren!

Dies wurde von Cartan getan, und ist nach ihm genannt.

	<u>Lie-Algebren:</u>	<u>Lie-Gruppen:</u>		
unendliche Familien von "regulären" Gruppen	{	A_n	$SU(n+1)$	
		B_n	$SO(2n+1)$	
		C_n	$Sp(2n)$	← symplektische Gruppen
		D_n	$SO(2n)$	
fünf "außergewöhnliche" bzw. "exceptionelle" Gruppen	{	G_2		
		F_4		
		E_6		
		E_7		
		E_8		
		↑		
		Rang		

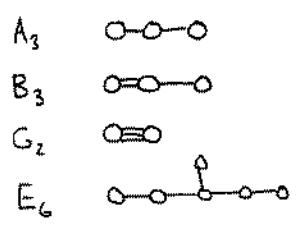
Literatur:

- * H. Georgi, Lie Algebras in Particle Physics, Kap. XIX, XX
- * M. Gourdin, Basics of Lie Groups, Kap. 5.
- * B.G. Wybourne, Classical groups for physicists, Kap. 6.

6.2 Graphische Methoden

Für fast alles was wir gelernt haben, gibt es schöne graphische Methoden. Zum Beispiel:

(a) Dynkin-Diagramme für die Klassifizierung der Lie-Algebren:

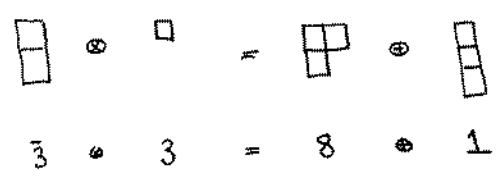


usw.

Die verschiedenen Arten von Linien entsprechen verschiedenen Werten zwischen einfachen Wurzeln in einem Gewichtsdiagramm!

Literatur: * H. Georgi, Kap. VIII, XIX, XX
 * B.G. Wybourne, Kap. 7.

(b) Young-Tableaux für die Ausreduktion von Darstellungen der $SU(n)$:

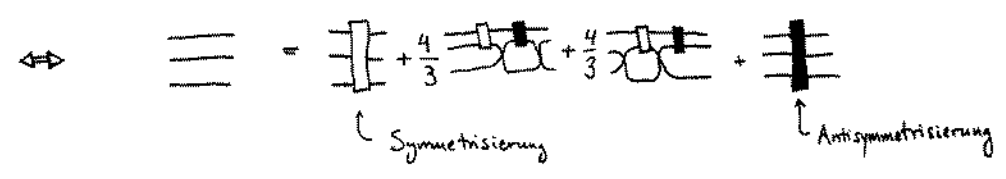


Literatur: * H. Georgi, Kap. XII

(c) Birdtracks für alles Mögliche! [Aber nur für Spaß.]

Aufgabe 8.3:

$$\delta_m^i \delta_n^j \delta_o^k = [P_A]_{mno}^{ijk} + [P_B]_{mno}^{ijk} + [P_C]_{mno}^{ijk} + [P_D]_{mno}^{ijk}$$



Literatur: P. Cvitanović, Group Theory
 [www.cns.gatech.edu / GroupTheory/]

6.3 Darstellungen der Poincaré-Gruppe

In Kapitel 4 haben wir die Darstellungen der Lorentzalgebra besprochen. Die Lorentzgruppe besteht aus Drehungen und Boosts, und ihre Darstellungen werden verwendet, um lokale Größen, wie die Lagrange-Dichte, zu konstruieren.

Fügt man die (nichtlokalen) Translationen hinzu, bekommt man die Poincaré-Gruppe. Die möglichen Darstellungen der Poincaré-Gruppe bestimmen, was für (propagierende) Teilchenzustände es geben kann \Rightarrow massive Teilchen, masselose Teilchen, Polarisationszustände, ... (Wignersche Klassifikation).

- Literatur:
- * M. Gourdin, Kap. 12
 - * W.K. Tung, Group theory in physics, Kap. 10.

6.4 Supersymmetrie

Wir haben nur Fälle betrachtet, wo die Gruppenelemente g von den Generatoren der Lie-Algebra T^a (hermitisch oder nicht) durch $g = \exp\left(i \sum_{a=1}^{\dim} \theta^a T^a\right)$ erreicht werden können, wobei die θ^a reelle Koordinaten sind.

Es gibt aber eine Verallgemeinerung, wo z.B. die Koordinaten grassmannsche Variablen sein können [d.h. $\theta^a \theta^b = -\theta^b \theta^a$].

Dies führt letztendlich zum Begriff der Supersymmetrie.

Literatur:

- * D. Bailin and A. Love,
Supersymmetric Gauge Field Theory and String Theory,
Kap. 1.5.

6.5 Symmetriebrechung und deren Konsequenzen

In der Physik kommt es häufig vor, daß obwohl die Theorie [d.h. die Lagrange-Dichte] eine Symmetrie hat, ist sie im Grundzustand "spontan gebrochen" (z.B. Ferromagnetismus).

Die Symmetrie spielt dennoch eine sehr wichtige Rolle! Sie kann z.B. die Existenz masseloser Teilchen, "Goldstone-Bosonen", verlangen. Oder sie führt zu topologischen Defekten:

G = ursprüngliche Symmetrie

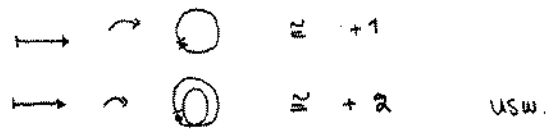
H = kleine Gruppe des Grundzustandes

G/H = Faktorgruppe = überlebende Symmetrie

$\pi_n(G/H)$ = "Homotopiegruppe", die die topologischen Eigenschaften der Abbildungen von $[0,1]^n$ auf G/H beschreibt.

Zun Beispiel:

$$\begin{aligned}
 G &= \text{SO}(2) \quad (\text{Drehungen}) \\
 H &= \mathbb{1} \\
 G/H &= \text{SO}(2) = S^1 \quad \text{als Mannigfaltigkeit} \\
 \pi_1(S^1) &\cong \mathbb{Z}
 \end{aligned}$$



Dies hängt mit Vortizes zusammen.

Literatur:

- * M Nakahara, Geometry, Topology and Physics, Kap. 4
- * B.G Wybourne, Kap 16.

